

# Adição de Momento Angular

Começamos com dois exemplos

$$\begin{cases} a) \mathbf{J} = \mathbf{L} + \mathbf{S} \\ b) \mathbf{J} = \mathbf{S}_1 + \mathbf{S}_2 \end{cases}$$

Em ambos os casos, é preciso primeiro “expandir” o espaço de atuação dos operadores de momento angular. No primeiro caso, lembre que  $\mathbf{L}$  atua no  $R^3$  (de fato duas de suas três dimensões espaciais) e  $\mathbf{S}$  atua em um espaço de duas dimensões (discreto e com apenas dois valores possíveis).

*Exemplo a)* Cria-se um novo espaço por meio de todos os produtos possíveis

do tipo:  $|\mathbf{x}', \pm\rangle = |\mathbf{x}'\rangle \otimes |\pm\rangle$

Note que no  $R^3$ ,  $L^2$  e  $L_z$  têm espectros **lousa** discretos e  $\mathbf{S}$  tem um contínuo de orientações.

Neste espaço, o operador que roda continua com a forma:  $\exp(-i\frac{\mathbf{J}\cdot\mathbf{n}\phi}{\hbar})$ ,

mas com  $\mathbf{J} = \mathbf{L} + \mathbf{S}$ , que deve ser lido como  $\mathbf{J} = \mathbf{L} \otimes \mathbb{1}_S + \mathbb{1}_L \otimes \mathbf{S}$ , onde

$\mathbf{J}|\mathbf{x}', \pm\rangle = \mathbf{L}|\mathbf{x}'\rangle \otimes \mathbb{1}_S|\pm\rangle + \mathbb{1}_L|\mathbf{x}'\rangle \otimes \mathbf{S}|\pm\rangle$  e

$\begin{cases} \mathbb{1}_S : \text{unidade do espaço de spin} \\ \mathbb{1}_L : \text{unidade do espaço de} \\ \text{momento angular orbital} \end{cases}$

Operadores que atuam em subespaços diferentes comutam. Especificamente:

$$[\mathbf{L}, \mathbf{S}] = 0.$$

Isso permitirá construir autokets simultâneos de  $S^2, S_z, L^2$  e  $L_z$ .

# Adição de Momento Angular

A rotação de kets neste espaço expandido pode ser definida por:

$$D(R) = D^{\text{orb}}(R) \otimes D^{\text{spin}}(R) \text{ e } \therefore$$

$$D(R) = \exp\left(-i\frac{\mathbf{L} \cdot \hat{\mathbf{n}}\phi}{\hbar}\right) \otimes \exp\left(-i\frac{\mathbf{S} \cdot \hat{\mathbf{n}}\phi}{\hbar}\right)$$

A função de onda de uma partícula com spin é:

$$\langle \mathbf{x}' | \alpha \rangle = \psi_{\pm}(\mathbf{x}') \doteq \begin{pmatrix} \psi_+(\mathbf{x}') \\ \psi_-(\mathbf{x}') \end{pmatrix}$$

base de  $|\mathbf{x}'\rangle \otimes |\pm\rangle$  pode ser trocada por:  $|n, \ell, m\rangle \otimes |\pm\rangle$ ,

autokets de  $H, L^2, L_z, S^2, S_z$  ou como veremos mais tarde, por:

$|n, \ell, s; jm\rangle$  autokets de  $H, L^2, S^2, J^2$ , e  $J_z$ .

[lousa](#)



# Adição de Momento Angular

*Exemplo b)* Cria-se um novo espaço por meio de todos os produtos do tipo  $|\pm\rangle \otimes |\pm\rangle$ . O operador que roda é da forma:  $\exp\left(-i\frac{\mathbf{S} \cdot \mathbf{n}\phi}{\hbar}\right)$ , com  $\mathbf{S} = \mathbf{S}_1 \otimes \mathbb{1}_S + \mathbb{1}_S \otimes \mathbf{S}_2$

e as seguintes propriedades ( $\forall i, j = x, y, z$ ) :

$$\begin{cases} [S_{1i}, S_{1j}] = i\hbar\epsilon_{ijk}S_{1k} \\ [S_{2i}, S_{2j}] = i\hbar\epsilon_{ijk}S_{2k} \\ [S_{1i}, S_{2j}] = 0 \end{cases}$$

e  $\therefore [S_x, S_y] = [S_{1x} + S_{2x}, S_{1y} + S_{2y}] = i\hbar(S_{1z} + S_{2z}) = i\hbar S_z$ , etc.

Os autovalores dos seguintes operadores são:

$$\begin{cases} \mathbf{S}^2 = (\mathbf{S}_1 + \mathbf{S}_2)^2 \implies s(s+1)\hbar^2 \\ S_z = S_{1z} + S_{2z} \implies m\hbar \\ \mathbf{S}_1^2 \text{ e } \mathbf{S}_2^2 \implies \frac{1}{2}(\frac{1}{2} + 1)\hbar^2 = \frac{3}{4}\hbar^2 \\ S_{1z} \implies m_1\hbar \\ S_{2z} \implies m_2\hbar \end{cases}$$

lousa

Vamos achar as relações entre eles e seus valores possíveis

# Adição de Momento Angular

O ket estado arbitrário de 2 spins pode ser expandido de duas (de novo) formas.

$$\left. \begin{array}{l} \text{representações} \\ \left\{ \begin{array}{l} \underbrace{\{m_1, m_2\}}_{S_{1z} S_{2z}} \\ |++, |+-, |-+, |-- \end{array} \right. \\ \left. \begin{array}{l} \underbrace{\{s, m\}}_{S^2 S_z} (\text{representação singuleto e tripleto}) \\ |s=1, m=\pm_1\rangle \text{ e } |s=0, m=0\rangle \end{array} \right. \end{array} \right\}$$

Em ambas as representações temos 4 kets. Como relacioná-los?

$$\left. \begin{array}{l} \text{Que tal} \\ \left\{ \begin{array}{l} |s=1, m=1\rangle = |++\rangle \text{ (dois elétrons com spin para cima)} \\ |s=1, m=0\rangle = \frac{1}{\sqrt{2}}(|+-\rangle + |-+\rangle) \text{ (aplique } S_- = S_{1-} + S_{2-} \text{ acima)} \\ |s=1, m=-1\rangle = |--\rangle \text{ (aplique } S_- = S_{1-} + S_{2-} \text{ acima de novo)} \\ |s=0, m=0\rangle = \frac{1}{\sqrt{2}}(|+-\rangle - |-+\rangle) \text{ (exija ortogonalidade)} \end{array} \right. \end{array} \right\}$$

$$\text{Ex: } S_-|s=1, m=1\rangle = \sqrt{(s+m)(s-m+1)}\hbar|s=1, m=0\rangle = \sqrt{2}\hbar|1, 0\rangle$$

$$\begin{aligned}
 S_{1-}|++\rangle + S_{2-}|++\rangle &= \sqrt{\left(\frac{1}{2} + \frac{1}{2}\right)\left(\frac{1}{2} - \frac{1}{2} + 1\right)}\hbar|-+\rangle + \sqrt{\left(\frac{1}{2} + \frac{1}{2}\right)\left(\frac{1}{2} - \frac{1}{2} + 1\right)}\hbar|+-\rangle \\
 &= \hbar|-+\rangle + \hbar|+-\rangle \therefore |1, 0\rangle = \frac{1}{\sqrt{2}}(|-+\rangle + |+-\rangle)
 \end{aligned}$$

Exercício: diagonalize  $S^2$   
e  $S_z$  na base  $\{m_1, m_2\}$

# Adição de Momento Angular

Considere  $\mathbf{J}_1$  e  $\mathbf{J}_2$

$$\text{Sabemos que } \begin{cases} [J_{1i}, J_{1j}] = i\hbar\epsilon_{ijk}J_{1k} \\ [J_{2i}, J_{2j}] = i\hbar\epsilon_{ijk}J_{2k} \\ [J_{1i}, J_{2j}] = 0 \end{cases} \implies \begin{cases} \mathbf{J} = \mathbf{J}_1 + \mathbf{J}_2 \\ \mathbf{J} = \mathbf{J}_1 \otimes \mathbb{1} + \mathbb{1} \otimes \mathbf{J}_2 \\ [J_i, J_j] = i\hbar\epsilon_{ijk}J_k \end{cases}$$

A forma de somar tem início nas rotações infinitesimais que afetam ambos os sub-espacos 1 e 2, e pode ser escrita por:

$$(1 - \frac{i\mathbf{J}_1 \cdot \hat{\mathbf{n}}\delta\phi}{\hbar}) \otimes (1 - \frac{i\mathbf{J}_2 \cdot \hat{\mathbf{n}}\delta\phi}{\hbar}) = (1 - \frac{i(\mathbf{J}_1 \otimes \mathbb{1} + \mathbb{1} \otimes \mathbf{J}_2) \cdot \hat{\mathbf{n}}\delta\phi}{\hbar}).$$

Isso define  $\mathbf{J} = \mathbf{J}_1 \otimes \mathbb{1} + \mathbb{1} \otimes \mathbf{J}_2$

Rotações finitas são representadas por:

$$D_1(R) \otimes D_1(R) = \exp\left(-\frac{i\mathbf{J}_1 \cdot \hat{\mathbf{n}}\phi}{\hbar}\right) \otimes \exp\left(-\frac{i\mathbf{J}_2 \cdot \hat{\mathbf{n}}\phi}{\hbar}\right)$$

A regra de comutação das componentes de  $\mathbf{J}$  indicam que se trata de momento angular e isso é fisicamente aceitável, uma vez que  $\mathbf{J}$  gera rotações do sistema global.

# Teoria Formal de Adição de Momento Angular

Tudo que aprendemos até aqui continua valendo, inclusive as propriedades de  $\mathbf{J}_+$  e  $\mathbf{J}_-$ . Como escolha de bases temos duas opções:

A) Base de autokets de  $J_1^2, J_2^2, J_{1z}, J_{2z}$

$$\begin{cases} J_1^2|j_1j_2; m_1m_2\rangle = j_1(j_1 + 1)\hbar^2|j_1j_2; m_1m_2\rangle \\ J_2^2|j_1j_2; m_1m_2\rangle = j_2(j_2 + 1)\hbar^2|j_1j_2; m_1m_2\rangle \\ J_{1z}|j_1j_2; m_1m_2\rangle = m_1\hbar|j_1j_2; m_1m_2\rangle \\ J_{2z}|j_1j_2; m_1m_2\rangle = m_2\hbar|j_1j_2; m_1m_2\rangle \end{cases}$$

B) Base de autokets de  $J_1^2, J_2^2, J^2, J_z$

$$\begin{cases} J_1^2|j_1j_2; jm\rangle = j_1(j_1 + 1)\hbar^2|j_1j_2; jm\rangle \\ J_2^2|j_1j_2; jm\rangle = j_2(j_2 + 1)\hbar^2|j_1j_2; jm\rangle \\ J^2|j_1j_2; jm\rangle = j(j + 1)\hbar^2|j_1j_2; jm\rangle \\ J_z|j_1j_2; jm\rangle = m\hbar|j_1j_2; jm\rangle \end{cases}$$

Note, entretanto, que embora  $[J^2, J_z] = 0$ , temos

lousa

Para ver isso, use

$$\begin{cases} J^2 = J_1^2 + J_2^2 + 2J_{1z}J_{2z} + J_{1+}J_{2-} + J_{1-}J_{2+} \\ [J_{1z}, J_{\pm}] = \pm\hbar J_{1\pm} \end{cases}$$

Isto implica em  $J^2$  não poder ser adicionado entre os operadores do tipo A e  $J_{1z}$  ou  $J_{2z}$  não poderem ser colocados entre os do tipo B.

# FI001

# Aula 21

## Teoria Formal de Adição de Momento Angular

Considere uma transformação unitária que liga as duas bases

$$|j_1 j_2; jm\rangle = \mathbb{1} |j_1 j_2; jm\rangle = \sum_{m_1 m_2} |j_1 j_2; m_1 m_2\rangle \underbrace{\langle j_1 j_2; m_1 m_2 | j_1 j_2; jm\rangle}_{\text{lousa}}$$

Não somamos  
em  $j_1$  e  $j_2$ .  
Porque?

Coeficientes de  
Clebsch-Gordan

Propriedades importantes dos Clebsch-Gordan  $\langle j_1 j_2; m_1 m_2 | j_1 j_2; jm\rangle$

- os coeficientes são nulos, a menos que  $m = m_1 + m_2$ .

Para provar isso, observe que  $(J_z - J_{1z} - J_{2z})|j_1 j_2; jm\rangle = 0$  e que isso implica em  $\langle j_1 j_2; m_1 m_2 | (J_z - J_{1z} - J_{2z}) | j_1 j_2; jm\rangle = 0$

e  $\therefore (m - m_1 - m_2) \langle j_1 j_2; m_1 m_2 | j_1 j_2; jm\rangle = 0$ . Para que o coeficiente seja diferente de zero, é preciso que  $m = m_1 + m_2$ .

- os coeficientes são nulos, a menos que  $|j_1 - j_2| \leq j \leq j_1 + j_2$

Neste primeiro momento, mostramos apenas que a dimensão do sub-espacô descrito por  $\{|j_1 j_2; m_1 m_2\rangle\}$  é igual à do sub-espacô  $\{|j_1 j_2; jm\rangle\}$  se tomarmos  $|j_1 - j_2| \leq j \leq j_1 + j_2$ .

# Teoria Formal de Adição de Momento Angular

A dimensão  $N_1$  de  $\{|j_1 j_2; m_1 m_2\rangle\}$  é  $(2j_1 + 1)(2j_2 + 1)$ .

A dimensão  $N_2$  de  $\{|j_1 j_2; jm\rangle\}$ , no referido intervalo, é

$$\begin{aligned}
 N_2 &= \sum_{j=|j_1-j_2|}^{j_1+j_2} (2j+1). \text{ Considere } j_1 \geq j_2 \Rightarrow N_2 = \sum_{j=j_1-j_2}^{j_1+j_2} (2j+1) = \\
 &= \underbrace{\frac{1}{2}(2(j_1+j_2)+1+2(j_1-j_2)+1)}_{\text{termo médio}} \underbrace{(j_1+j_2-(j_1-j_2)+1)}_{\text{número de termos}} = \\
 &= (2j_1+1)(2j_2+1) = N_1 \text{ c.q.d.}
 \end{aligned}$$

- $\sum_{jm} \langle j_1 j_2; m_1 m_2 | j_1 j_2; jm \rangle \langle j_1 j_2; m'_1 m'_2 | j_1 j_2; jm \rangle = \delta_{m'_1 m_1} \delta_{m'_2 m_2}$

É simples provar se considerarmos  $\langle j_1 j_2; m'_1 m'_2 | j_1 j_2; jm \rangle = \langle j_1 j_2; jm | j_1 j_2; m'_1 m'_2 \rangle^* = \langle j_1 j_2; jm | j_1 j_2; m'_1 m'_2 \rangle$  (por convenção)

- $\sum_{m_1 m_2} \underbrace{\langle j_1 j_2; m_1 m_2 | j_1 j_2; jm \rangle}_{m = m_1 + m_2} \underbrace{\langle j_1 j_2; m_1 m_2 | j_1 j_2; j' m' \rangle}_{m' = m_1 + m_2} = \delta_{jj'} \delta_{mm'}$

$$m = m_1 + m_2 \quad m' = m_1 + m_2 \quad \therefore m = m'$$

Para  $j' = j$  é direto, pois temos  $\sum_{m_1 m_2} |\langle j_1 j_2; m_1 m_2 | j_1 j_2; jm \rangle|^2 = 1$

Para mostrar que se  $j' \neq j$  dá zero, basta inverter o primeiro termo.

# Teoria Formal de Adição de Momento Angular

Alguns autores têm outras notações para estes coeficientes

- 1)  $\langle j_1 m_1 j_2 m_2 | j_1 j_2 j m \rangle$
- 2)  $C(j_1 j_2 j; m_1 m_2 m)$
- 3)  $C_{j_1 j_2}(jm; m_1 m_2)$
- 4) 3 –  $j$  “symbol” de Wigner

$$\langle j_1 j_2; m_1 m_2 | j_1 j_2; jm \rangle = (-1)^{j_1 - j_2 + m} \sqrt{2j + 1} \begin{pmatrix} j_1 & j_2 & j \\ m_1 & m_2 & -m \end{pmatrix}$$

# Coeficientes de Clebsch-Gordan: Fórmulas de Recorrência

Fixe  $j_1, j_2$  e  $j$ : os coeficientes com diferentes  $m_1$  e  $m_2$  estão relacionados entre si por relações de recorrência. Comece por:

$$J_{\pm}|j_1j_2; jm\rangle = (J_{1\pm} + J_{2\pm}) \sum_{m'_1 m'_2} |j_1j_2; m'_1 m'_2\rangle \langle j_1j_2; m'_1 m'_2|j_1j_2; jm\rangle$$

$$\begin{aligned} & \sqrt{(j \mp m)(j \pm m + 1)}|j_1j_2; jm \pm 1\rangle = \\ &= \sum_{m'_1 m'_2} \left\{ \sqrt{(j_1 \mp m'_1)(j_1 \pm m'_1 + 1)}|j_1j_2; m'_1 \pm 1 m'_2\rangle + \right. \\ & \quad \left. + \sqrt{(j_2 \mp m'_2)(j_2 \pm m'_2 + 1)}|j_1j_2; m'_1 m'_2 \pm 1\rangle \right\} \langle j_1j_2; m'_1 m'_2|j_1j_2; jm\rangle \end{aligned}$$

Multiplique pela esquerda por  $\langle j_1j_2; m_1 m_2|$

$$\begin{aligned} & \sqrt{(j \mp m)(j \pm m + 1)}\langle j_1j_2; m_1 m_2|j_1j_2; jm \pm 1\rangle = \\ &= \sum_{m'_1 m'_2} \left\{ \sqrt{(j_1 \mp m'_1)(j_1 \pm m'_1 + 1)}\langle j_1j_2; m_1 m_2|j_1j_2; m'_1 \pm 1 m'_2\rangle + \right. \\ & \quad \left. + \sqrt{(j_2 \mp m'_2)(j_2 \pm m'_2 + 1)}\langle j_1j_2; m_1 m_2|j_1j_2; m'_1 m'_2 \pm 1\rangle \right\} \langle j_1j_2; m'_1 m'_2|j_1j_2; jm\rangle \\ &= \sum_{m'_1 m'_2} \left\{ \sqrt{(j_1 \mp m'_1)(j_1 \pm m'_1 + 1)}\delta_{m_1, m'_1 \pm 1}\delta_{m_2, m'_2} + \right. \\ & \quad \left. + \sqrt{(j_2 \mp m'_2)(j_2 \pm m'_2 + 1)}\delta_{m_1, m'_1}\delta_{m_2, m'_2 \pm 1} \right\} \langle j_1j_2; m'_1 m'_2|j_1j_2; jm\rangle \end{aligned}$$

# Coeficientes de Clebsch-Gordan: Fórmulas de Recorrência

Repetindo a última equação do slide anterior, temos

$$\begin{aligned}
 & \sqrt{(j \mp m)(j \pm m + 1)} \langle j_1 j_2; m_1 m_2 | j_1 j_2; jm \pm 1 \rangle = \\
 &= \sum_{m'_1 m'_2} \left\{ \sqrt{(j_1 \mp m'_1)(j_1 \pm m'_1 + 1)} \delta_{m_1, m'_1 \pm 1} \delta_{m_2, m'_2} + \right. \\
 &+ \sqrt{(j_2 \mp m'_2)(j_2 \pm m'_2 + 1)} \delta_{m_1 m'_1} \delta_{m_2, m'_2 \pm 1} \} \langle j_1 j_2; m'_1 m'_2 | j_1 j_2; jm \rangle = \\
 &= \sqrt{(j_1 \mp m_1 + 1)(j_1 \pm (m_1 \mp 1) + 1)} \langle j_1 j_2; m_1 \mp 1, m_2 | j_1 j_2; jm \rangle + \\
 &+ \sqrt{(j_2 \mp (m_2 \mp 1))(j_2 \pm (m_2 \mp 1) + 1)} \langle j_1 j_2; m_1, m_2 \mp 1 | j_1 j_2; jm \rangle
 \end{aligned}$$

Desta forma gera-se a seguinte fórmula de recorrência:

$$\begin{aligned}
 & \sqrt{(j \mp m)(j \pm m + 1)} \langle j_1 j_2; m_1 m_2 | j_1 j_2; jm \pm 1 \rangle = \\
 &= \sqrt{(j_1 \mp m_1 + 1)(j_1 \pm m_1)} \langle j_1 j_2; m_1 \mp 1, m_2 | j_1 j_2; jm \rangle + \\
 &+ \sqrt{(j_2 \mp m_2 + 1)(j_2 \pm m_2)} \langle j_1 j_2; m_1, m_2 \mp 1 | j_1 j_2; jm \rangle
 \end{aligned}$$

Note que os três coeficientes de Clebsch-Gordon indicam que nesta fórmula de recorrência:  $m_1 + m_2 = m \pm 1$

# Usando as Fórmulas de Recorrência

A fórmula de recorrência:

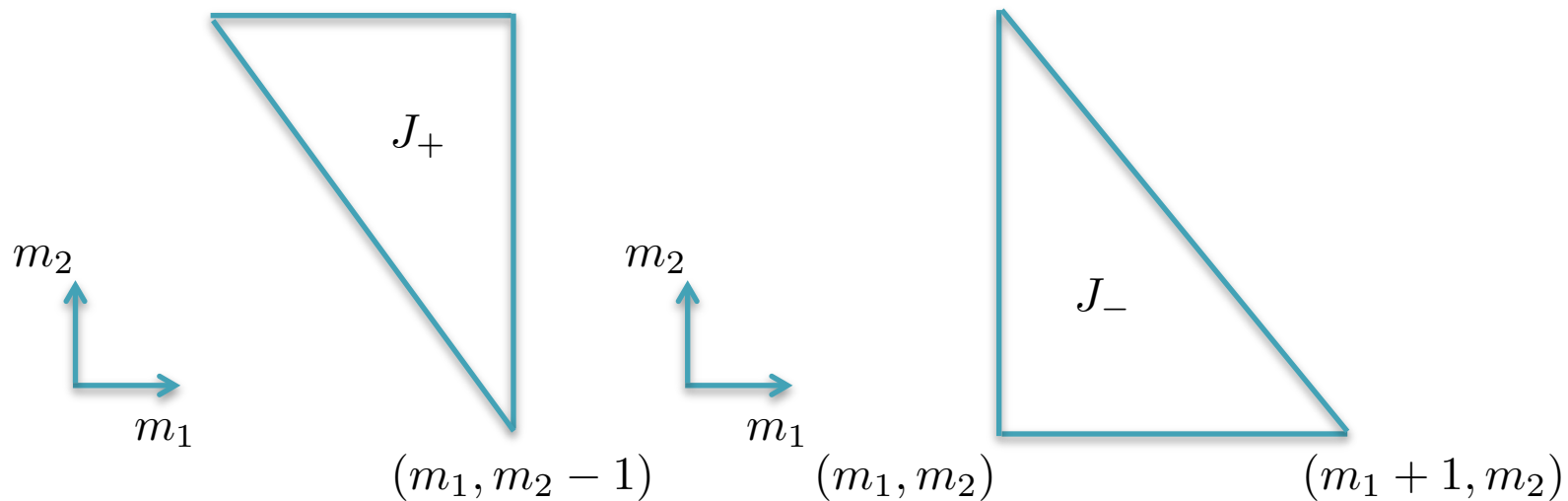
$$\begin{aligned} & \sqrt{(j \mp m)(j \pm m + 1)} \langle j_1 j_2; m_1 m_2 | j_1 j_2; jm \pm 1 \rangle = \\ & = \sqrt{(j_1 \mp m_1 + 1)(j_1 \pm m_1)} \langle j_1 j_2; m_1 \mp 1, m_2 | j_1 j_2; jm \rangle + \\ & + \sqrt{(j_2 \mp m_2 + 1)(j_2 \pm m_2)} \langle j_1 j_2; m_1, m_2 \mp 1 | j_1 j_2; jm \rangle \end{aligned}$$

pode ser representada graficamente no plano:  $(m_1, m_2)$

$(m_1 - 1, m_2)$

$(m_1, m_2)$

$(m_1, m_2 + 1)$

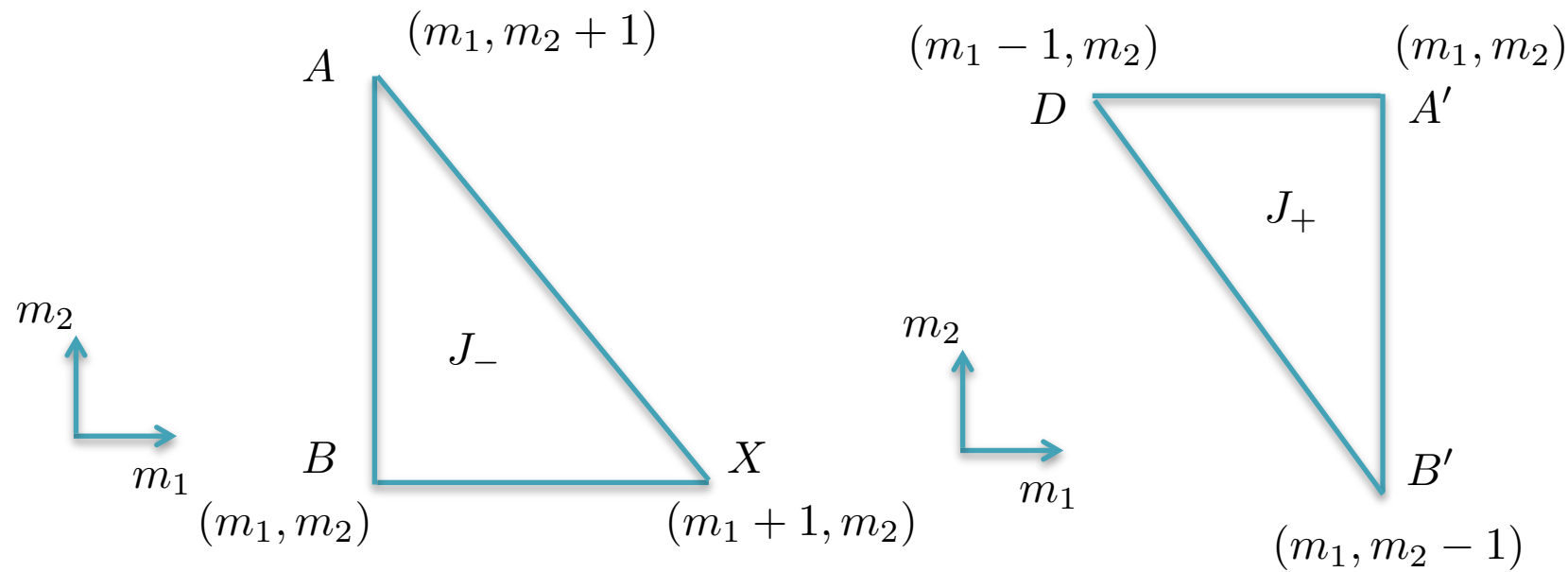


As fórmulas de recorrência definidas acima, juntamente com condições de normalização, quase determinam unicamente todos os coeficientes de Clebsch-Gordon. Quase porque certos sinais têm que ser especificados por convenção.

## Usando as Fórmulas de Recorrência

como gerar coeficientes?

- 1) Tome na figura
- $$\begin{cases} A = (m_1, m_2 + 1) \\ B = (m_1, m_2) \\ X = (m_1 + 1, m_2) \end{cases}$$
- 2) Escolha  $A$  tal que  $m_1 = j_1$
- 3) Use  $J_-$  para gerar  $B$
- 4) Note que  $X$  é proibido, pois  $m_1$  seria maior que  $j_1$



Depois, redefina  $A' = A$  e  $B' = B$  no gráfico de  $J_+$  e gere  $D$ . Repita com novos triângulos (com dois vértices conhecidos) e ache todos os  $m_1, m_2$  e  $m'$ s para  $j_1, j_2$  e  $j$  fixos.

- Slide 1 De fato,  $L^2$  e  $L_z$  atuam em um espaço  $\{|\ell, m_\ell\rangle\}$  de dimensão infinita, com  $\ell = 0, 1, \dots, \infty$  e  $m_\ell = -\ell, \dots, +\ell$ .
- O operador  $\mathbf{L}$  também pode ser orientado de forma contínua em  $R^3$ .
- Estranho “mundo” do momento angular. Vimos, de um modo geral, que se

$$[J_i, J_j] = i\hbar\epsilon_{ijk}J_k \Rightarrow \begin{cases} J^2|j, m\rangle = j(j+1)\hbar^2|j, m\rangle, \text{ com } j = 0, 1/2, 1, 3/2, \dots \\ J_z|j, m\rangle = m\hbar|j, m\rangle, \text{ com } -j \leq m \leq +j \end{cases}$$

E se vc medisse  $\mathbf{J} \cdot \mathbf{n}$ , uma componente de  $\mathbf{J}$  ao longo da direção  $\mathbf{n}$ , o que encontraria?  $m\hbar$ , com  $-j \leq m \leq +j$ . A projeção de  $\mathbf{J}$  em qualquer direção tem o mesmo espectro! **Para o momento angular, o espaço está quantizado.**

- Slide 2 De fato, nossa tarefa vai ser encontrar, a partir do espaço  $\{|\ell, s, m_\ell, m_s\rangle\}$  de autokets de  $L^2, L_z, S^2$  e  $S_z$ , um espaço equivalente  $\{|\ell, s, j, m\rangle\}$  de autokets de  $L^2, S^2, J^2$  e  $J_z$  com  $\mathbf{J} = \mathbf{L} + \mathbf{S}$ . Existe um grupo de autovalores ( $j$  e  $m$ ) de  $J^2 \rightarrow j(j+1)\hbar^2$  e  $J_z \rightarrow m\hbar$  que cumprem essa tarefa.
- Slide 3 De fato, nossa tarefa vai ser encontrar, a partir do espaço de autokets  $\{|s_1, s_2, m_{s1}, m_{s2}\rangle\}$  de  $S_1^2, S_{1z}, S_2^2$  e  $S_{2z}$ , um espaço equivalente  $\{|s_1, s_2, j, m\rangle\}$  de autokets de  $S_1^2, S_2^2, J^2$  e  $J_z$  com  $\mathbf{J} = \mathbf{S}_1 + \mathbf{S}_2$ . Novamente, existe um grupo de valores de  $j$  e  $m$  que cumprem essa tarefa.

Slide 6

- Sabemos que  $[J^2, J_z] = 0$ , vamos calcular Lousa  $\begin{cases} [J^2, J_{1z}] \\ [J^2, J_{2z}] \end{cases}$

Para ver isso, usaremos 
$$\begin{cases} J^2 = J_1^2 + J_2^2 + 2J_{1z}J_{2z} + J_{1+}J_{2-} + J_{1-}J_{2+} \\ [J_{1z}, J_{\pm}] = [J_{1z}, J_{1\pm} + J_{2\pm}] = [J_{1z}, J_{1\pm}] = \pm \hbar J_{1\pm} \\ [J_{2z}, J_{\pm}] = [J_{2z}, J_{1\pm} + J_{2\pm}] = [J_{2z}, J_{2\pm}] = \pm \hbar J_{2\pm} \end{cases}$$

$$[J^2, J_{1z}] = [\underbrace{J_1^2 + J_2^2 + 2J_{1z}J_{2z}}_{\text{comutam com } J_{1z}} + J_{1+}J_{2-} + J_{1-}J_{2+}, J_{1z}] = [J_{1+}J_{2-} + J_{1-}J_{2+}, J_{1z}]$$

Assim, temos

$$[J^2, J_{1z}] = [J_{1+}, J_{1z}]J_{2-} + [J_{1-}, J_{1z}]J_{2+} = -J_{1+}J_{2-} + J_{1-}J_{2+} \neq 0$$

De forma semelhante, podemos obter

$$[J^2, J_{2z}] = [J_{2+}, J_{2z}]J_{1-} + [J_{2-}, J_{2z}]J_{1+} = -J_{2+}J_{1-} + J_{2-}J_{1+} \neq 0$$

Nenhum deles é zero, embora a soma seja!

Slide 7

- De fato, a unidade, exige a soma completa

$$|j_1 j_2; jm\rangle = \mathbb{1}|j_1 j_2; jm\rangle = \sum_{j'_1 m_1 j'_2 m_2} |j'_1 j'_2; m_1 m_2\rangle \langle j'_1 j'_2; m_1 m_2|j_1 j_2; jm\rangle, \text{ mas}$$

como  $\begin{cases} |j'_1 j'_2; m_1 m_2\rangle \\ |j_1 j_2; jm\rangle \end{cases}$  são autokets de  $J_1^2(J_2^2)$  e  $\therefore$  ortogonais se  $\begin{cases} j'_1 \neq j_1 \\ j'_2 \neq j_2 \end{cases}$

